

**Válasz Korvin Gábor professzor úr**  
**”A nehézségi erőter gradienseinek jelentősége és felhasználása a felsőgeodézia és a**  
**fizikai geodézia egyes területein” c. MTA**  
**doktori értekezésemre adott bírálói véleményére**

Köszönöm professzor úr alapos bírálatát, hasznos észrevételeit és a dolgozat pozitív értékelését. Az opponensi véleményben leírt megjegyzésekre és kérdésekre az alábbiakban adom meg részletes válaszaimat a véleményben jelzett észrevételek sorrendjében.

A) *Formális kritikai megjegyzések*

A kritikai megjegyzéseket köszönöm és elfogadom.

1. A dolgozatban igyekeztem egyes szám első személyben fogalmazni, de sajnos maradtak benne indokolatlanul többes szám első személyű megfogalmazások.
2. Rövidítések jegyzékét állítottam össze a dolgozathoz, amelyet a válaszhoz mellékeltem.
3. Köszönöm az észrevételt. A dolgozatban is helye lett volna ennek a bekezdésnek.

B) *Technikai jellegű megjegyzések és kérdések*

1. A színek a különböző ingamérési területeket jelzik, a számok a mérés évszáma utolsó két számjegye (mindegyik mérés a 20. században történt)
2. A hivatkozás Biró et al. (2013) 247.o.
3. Az  $U_0 = kM/R$  képletben a  $k$  a Newton-féle tömegvonzási állandó a felsőgeodéziában szokásos jelöléssel (Biró et al. 2013)
4. A referencia a gömbfüggvények összegzési tételére Biró et al. (2013) 151.o., a Vening-Meinesz integrálra ugyancsak Biró et al. (2013) 256.o.
5. A Bruns összefüggés a geoidmagasságok számítását teszi lehetővé a potenciálzavar segítségével, hivatkozás Biró et al. (2013) 421.o.
6. Mologyenszkij helyett valóban Molodenskii a szerző neve az angol publikációban
7. A deriváltak együttesének számítását a Tóth et al. (2006) publikációban javasoltam
8. A Wiener szűrőkről a referencia Wiener (1964)
9. A fizikai geodéziában a nehézségi erőter modellezéséhez használt kovarianciafüggvények sajátos szerkezetű harmonikus függvények, amelyek kielégítik a Laplace-egyenletet. A legkisebb négyzetek módszerén alapuló kollokáció eljárásában használt kovarianciafüggvények esetében a H. Moritz által javasolt, Moritz (1980) 22. fejezetében ismertetett korrelációs hossz (németül Halbwertsbreite) szokták alkalmazni, amelyik nem egyezik az általában exponenciális lecsengés esetében alkalmazott korrelációs hosszal. Az értekezésben a fizikai geodéziában szokásos meghatározást szem előtt tartva fogalmaztam, viszont hasznos lett volna felhívni a figyelmet arra, hogy ez nem egyezik az általánosan használt mennyiséggel.
10. A Tyikhonov regularizáció klasszikus hivatkozása Tikhonov és Arsenin (1977). A Tyikhonov regularizáció  $\gamma^2$  paraméterét Koch és Kusche (2002) (10) összefüggése szerint számítottam, vagyis az első adatrendszerhez ( $V_{xz}$ ) tartozó  $\sigma_1$  és a paraméterekhez tartozó  $\sigma_\mu$  szórásstényezők hányadosából:

$$\gamma^2 = \frac{\sigma_1^2}{\sigma_\mu^2}. \quad (1)$$

### C) Megválaszolandó tudományos kérdések

(i) Az Eötvös peremérték-feladat megoldását első közelítésben a gömbön végeztem el, mivel a gömbfelületen ortogonális tenzor gömbfüggvények alkalmas matematikai eszközt nyújtottak a probléma megoldásához. A forgás-ellipszoidon való megoldást is tervbe vettem, viszont időközben 2005-ben Bölling és Grafarend (2005) publikáltak egy ellipszoidra vonatkozó megoldást vektor és tenzor ellipszoidi harmonikusokkal, így ezzel a továbbiakban nem foglalkoztam. Érdekes viszont az, hogy legújabban Šprlák (2023) hibát talált a levezetésben, ami érvényteleníti Bölling és Grafarend (2005) eredményeit. A hiba oka bizonyos tenzor ellipszoidi harmonikusok ortogonalitásának a hiánya, így ez a feladat az ellipszoidon a felsőgeodézia és a potenciálelmélet nyitott és nehéz problémája maradt.

(ii) A spektrális súlyok megválasztása Gelderen és Rummel (2001) javaslata szerint a felhasznált adatok sztochasztikus modelljén alapulhat. Az általam alkalmazott, a gradiens és görbületi mennyiségeket azonos, egységnyi súllyal figyelembe vevő megoldás természetesen csak egy első közelítésnek tekinthető, ami akkor indokolt, ha a kétfajta mennyiség azonos megbízhatóságú. Ez nem elfogadhatatlan, de nem is optimális megoldás. Egyetértek a Bíráló megjegyzésével, hogy a zárt alak nem feltétlen jelent nagyobb pontosságot. Érdekes lenne változó spektrális súlyokkal is számítani megoldást. A tapasztalataim szerint ekkor viszont felszínközeli pontok esetében az izotróp magfüggvények sorfejtésének lassú konvergenciája a zárt alak hiánya miatt gyakorlati nehézségek forrása lehet.

(iii) A 3.1. táblázatban található sorok esetében felső korlátot lehet adni arra a hibára, amely abból adódik, hogy a végtelen sort csak egy adott  $l_{max}$ -ig összegezzük. Amennyiben a megengedhető hiba van megadva, akkor a becsült felső korlát segítségével megállapítható a szükséges  $l_{max}$  felső határ.

Az  $l_{max}$ -nál magasabb fokú tagok elhanyagolásából adódó hiba felső korlátjára a következő eljárással adhatunk becslést. A végtelen sorokra vonatkozó háromszög-egyenlőtlenséget (Heinbockel 2010) valamely  $\sum_i a_i$  végtelen sor első  $n$  elemének elhagyásával keletkező végtelen sorra felírva, a sor  $R_n$  maradékának abszolút értékét kapjuk

$$|R_n| = \left| \sum_{i=n+1}^{\infty} a_i \right| \leq \sum_{i=n+1}^{\infty} |a_i|. \quad (2)$$

E szerint a maradék abszolút értékét felülről becsülhetjük a maradék sor tagjai abszolút értékeinek összegével. Mivel a 3.1. táblázatban található sorok  $\sigma < 1$  esetén abszolút konvergensek, a maradékok abszolút értékeinek sora is abszolút konvergens, tehát  $|R_n|$  létezik és véges. A pozitív elemekből álló maradék sort – speciálisan az említett magfüggvények esetében – felülről közelítjük az

$$|R_{l_{max}}| = \sum_{l=l_{max}+1}^{\infty} 2(2l+1)\sigma^{l+3} \quad (3)$$

geometriai sorral. A 2-es tényező két rész szorzata. Az egyik rész abból adódik, hogy a függvény-sorokban található  $P_{10}(x)$  Legendre-polinomok és  $P_{11}(x)$ ,  $P_{12}(x)$  Legendre-függvények abszolút értékére (a teljes  $-1 \leq x \leq 1$  értelmezési tartományban) a következő korlátokat állíthatjuk fel

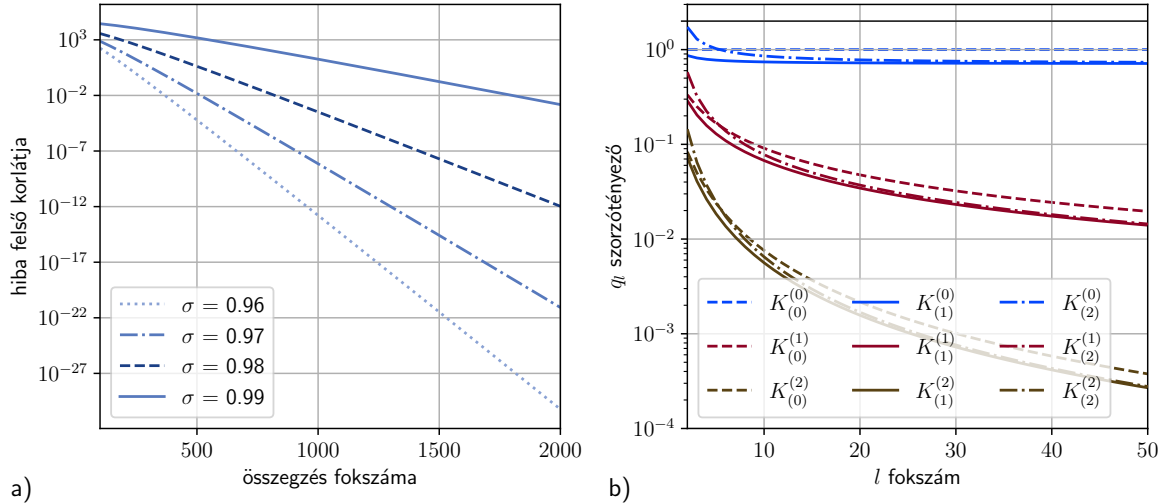
(Abramowitz és Stegun (1964), Lohöfer (1991))

$$|P_{l0}(x)| \leq 1, \quad |P_{l1}(x)| \leq \sqrt{\frac{l(l+1)}{2}}, \quad |P_{l2}(x)| \leq \sqrt{\frac{(l-1)l(l+1)(l+2)}{2}}. \quad (4)$$

A másik rész a magfüggvények sorában szereplő további,  $l$ -től függő tényezők felső korlátja. Ha ezt a két részt összeszorozzuk, akkor ezek lesznek az egyes magfüggvényekhez tartozó,  $q_l$ -el jelölt szorzók. Az 1. b) ábra azt szemlélteti, hogy minden magfüggvényre és az összes  $l \geq 2$  foksámra ezek a  $q_l$  szorzók 2-nél kisebbek. Így a (3) összefüggésben található 2-es tényező felső korlátot ad minden lehetséges  $x$ -re és az összes magfüggvényre vonatkozóan a  $q_l$  szorzótényezőkre. A (3) sor összege zárt alakban kifejezhető

$$|R_{l_{max}}| = 2\sigma^{l_{max}+4} \frac{3 - \sigma - 2l_{max}\sigma + 2l}{(1 - \sigma)^2} \quad (5)$$

és felső korlátot ad a magfüggvények  $l_{max}$  foksámig történő összegzéséből eredő hibára. Az 1. a) ábra mutatja ezt a hibát különböző  $\sigma$  értékekre. Látszik, hogy pl.  $\sigma = 0.96$  esetében  $l_{max} = 1250$  maximális foksámig végezve a magfüggvények sorának összegzését a hiba már biztosan kisebb, mint  $10^{-17}$ . Az is látszik, hogy minél közelebb van  $\sigma$  1-hez, vagyis minél közelebb van a számítási pont a földfelszínhez, annál lassabb a sorok konvergenciája.



**1. ábra.** a) Az Eötvös tenzor felfelé folytatásához használt magfüggvények adott foksámig való összegzésével elkövetett hiba felső korlátja. A számítás  $h$  magasságát jelzi a  $\sigma = R/(R + h)$  paraméter,  $R$  a földsugár. b) Különböző magfüggvényekhez tartozó  $q_l$  szorzótényezők a sorfejtés  $l$  fokszáma függvényében. Az összes magfüggvény esetében a szorzók értéke 2 alatt marad, amit az ábra felső részén látható egyenes szemléltet.

(iv) Köszönöm a Bíráló észrevételét. Sajnos elmulasztottam az 1.1 altézis megfogalmazásánál kiemelni azt a különbséget, ami az Eötvös peremérték-feladatot megoldó magfüggvények, illetve az Eötvös tenzor felfelé/lefelé folytatását megvalósító magfüggvények között van. Ezért tűnhet ellentmondásosnak az 1.1 tézis és a 3.1 táblázat magyarázata. Az Eötvös peremérték-feladatot megoldó magfüggvények (2.23-24) zárt alakját én állítottam elő (Tóth 2003), míg Šprlák et al. (2014) az Eötvös tenzor felfelé/lefelé folytatását megvalósító magfüggvények zárt

alakját közölte.

(v) A 3.3. a és b ábrák abszcisszáiban az  $f$  frekvencia és az  $l$  fokszám közötti átszámítást a GOCE műhold névleges  $T = 5370$  s keringési ideje adja:

$$l = T \cdot f \quad (6)$$

(vi) A 3.4. a) ábra, ami a  $V_{zz}$  lefelé folytatása során a távoli területek elhanyagolásából eredő várható hibát mutatja, a gömbfüggvényspektrumban végzett számításon alapult. A  $h = r - R$  magasság esetén az elhanyagolásból eredő hiba  $\sigma_{zz}^2$  variációját a

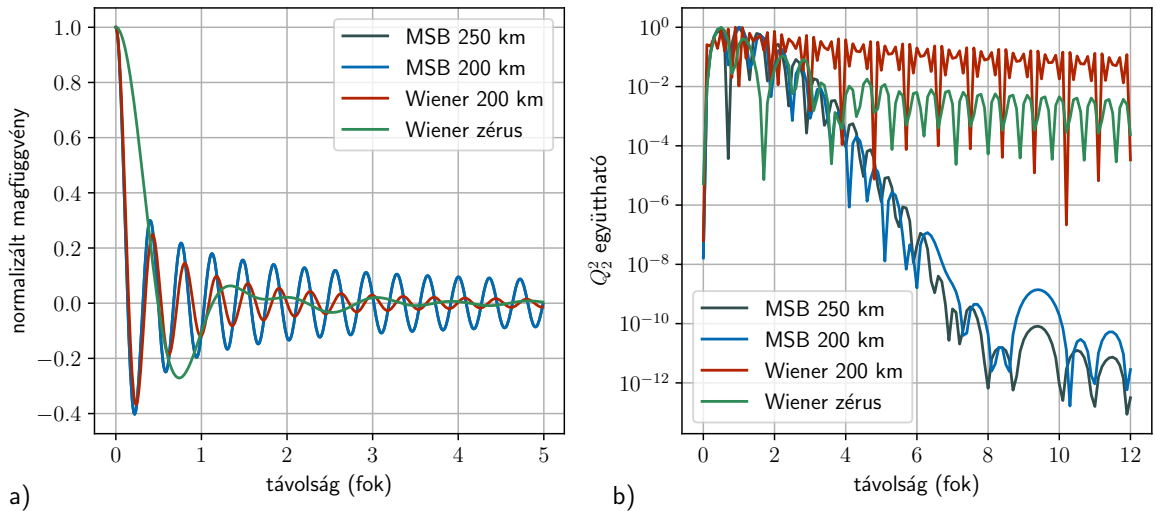
$$\sigma_{zz}^2(\psi_0) = \left( \frac{\Gamma_0}{2} \right) \sum_{l=2}^{\infty} \left[ \left( \frac{R}{r} \right)^{l+3} (l+1)(l+2) Q_l(r, R, \psi_0) \right]^2 \sigma_l^2 \quad (7)$$

összefüggéssel számítottam ki. A képletben  $\Gamma_0$  jelöli  $V_{zz}$  normálértékét a felszínen (1541.4 E),  $R$  a földsugár,  $\psi_0$  az a távolság, ameddig a számítást végezzük.  $Q_l$  az  $l$ -edfokú csonkítási együttható,  $\sigma_l^2$  pedig a fokvariancia, amelyik valamely geopotenciális modell (az ábra esetében az EGM96) együtthatóiból képezhető a  $\sigma_l^2 = \sum_{m=0}^n (C_{lm}^2 + S_{lm}^2)$  összefüggéssel.

A fokvarianciák az  $l$  fokszám függvényében lassan és szabályosan változnak, ezért a távoli területek elhanyagolásából eredő hibát lényegében a  $K(\psi)$  magfüggvénytől és a  $P_l(\cos \theta)$  Legendre polinomoktól függő

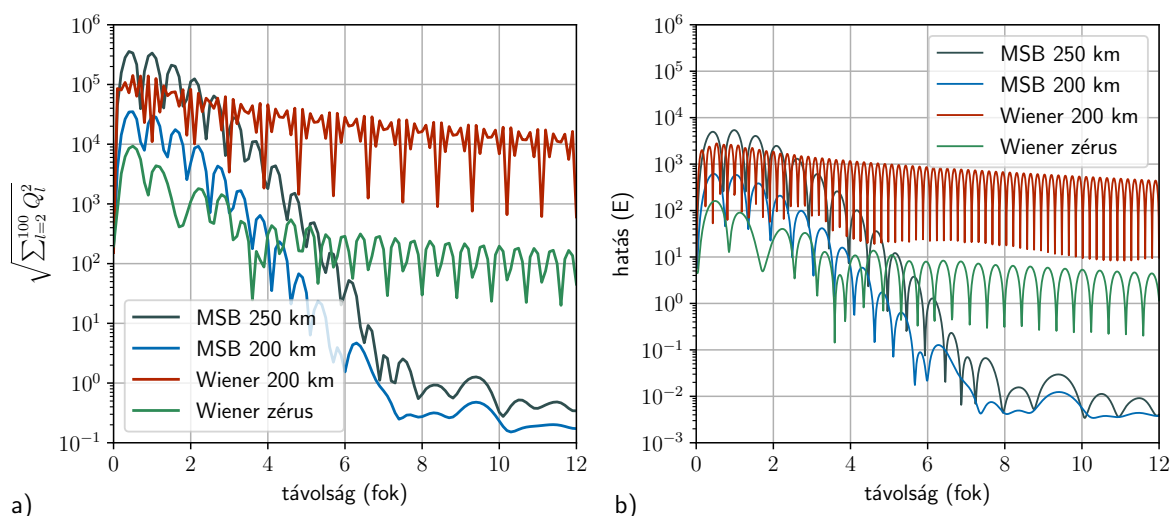
$$Q_l(r, R, \psi_0) = \int_{\psi_0}^{\pi} K(r, R) P_l(\cos \theta) \sin \theta d\theta$$

csonkítási együtthatók határozzák meg. A magfüggvény spektrális szűrése (amit a Legendre spektrumán végezhetünk) után kapott módosított magfüggvényeket a 2. a) ábra mutatja.



**2. ábra.** a) Különböző spektrális szűrésekkel módosított magfüggvények a  $V_{zz}$  lefelé folytatásához. Az értékeket az egyes magfüggvények maximális értékével normalizáltam. b) A  $Q_2$  csonkítási együttható négyzete ugyancsak a különböző spektrális szűrésekkel módosított magfüggvényekre.

Az ábrán az látható, hogy a szűréssel módosított magfüggvények jellegzetes hullámzást mutatnak, ami a szűrés típusától függ, és alapvetően ez az oka a dolgozat 3.4. a) ábráján tapasztalható hullámzásnak. A  $Q_l$  együtthatók is követik a magfüggvények hullámzását a távolság függvényében, viszont a (7) egyenletben szereplő négyzetreemelés miatt a frekvencia duplázódik. Ezt jól szemlélteti a 2. b) ábra, ami a  $Q_2$  együttható négyzetét mutatja a  $\psi_0$  távolság függvényében. További  $Q_l$  együtthatók ( $l=3-100$ ) négyzetének hozzáadása után is megmarad a jellegzetes, 3.4. a) ábrán látható hullámzás (3. a) ábra), ezért megállapítható, hogy a periódikus oszcillációk oka a szűréssel módosított magfüggvények hullámzása. A lefelé folytatás exponenciálisan felerősíti a magas frekvenciákat, emiatt azokat a magfüggvény regularizációjával el kell nyomni.



**3. ábra.** a) A  $Q_l$  ( $l=2-100$ ) csonkítási együtthatók négyzetösszegeinek négyzetgyöke a különböző spektrális szűrésekkel módosított magfüggvényekre. Szembetűnően hasonló az értekezés 3.4 a) ábrájához. b) Az értekezés 3.4.a) ábrája  $0.1^\circ$  helyett  $0.01^\circ$ -os mintavételezéssel kiszámítva.

A 3.4. a) ábra előállításának utolsó lépésében mégis szükség volt mintavételezésre a tartományban. A Bíráló kérdése alapján ellenőriztem a helyes mintavételezés Nyquist-Shannon féle szabályainak betartását. Ez az ellenőrzés arra vezetett, hogy a “Wiener 200” szűrő esetében nem teljesült az a szabály, hogy a jelben levő legnagyobb frekvenciának legalább a kétszeresével kell mintavételezni. A jel maximális frekvenciájának megfelelő periódushossz ugyanis  $0.18^\circ$ , ezért legalább  $0.09^\circ$  távolsággal kellene mintavételezni. Ezzel szemben 3.4. a) ábra, illetve a 2. b), 3. a) ábrák  $0.1^\circ$ -os mintavételezéssel készültek, ami miatt egy hamis alacsonyfrekvenciás jel jelent meg rajtuk. A 3. b) ábra elégséges ( $0.01^\circ$ -os) mintavételezéssel készült, ezért azon már nem látható ez a hamis információ.

(vii) Braginsky és munkatársai kísérletének az elemzése esetében valójában arra voltam kíváncsi, hogy mekkora nedvességváltozásból eredő tömegváltozás adhat a kísérlet bejelentett pontosságával, az  $\eta$  Eötvös paraméter  $0.9 \cdot 10^{-12}$  szórásával megegyező hatást. Próbaszámításokat végezve jött ki az említett  $0.8\%$ -os nedvességváltozás, ami a teljes fal térfogatra vonatkozik. Ha feltételezzük, hogy az említett fal anyaga beton, akkor a beton porozitására a Cruz et al. (2015) által közölt  $9-10\%$  körüli értéket felvéve  $8-9\%$  relatív nedvességváltozást kapunk. Így ez a számítás rámutatott a kísérlet egyik lehetséges hibaforrására.

(viii) Köszönöm, hogy a Bíráló felvetette ezt az érdekes kérdést. A gravitációshullám-detektorok a detektor két karjának relatív hosszváltozását mérik interferometria segítségével. A detektor a mérési frekvenciatartományban érzékeny a nehézségi erőtér megváltozására, vagyis az általában több km hosszú interferométer karok végén levő tükrökre ható tömegvonzási erők különbségére (Weiss 1972). Ezt nevezik gravitációs gradiens (GGN), vagy newtoni zajnak (NN). A newtoni zaj egyrészt az időtől függő környezeti sűrűségváltozások, másrészt a detektor közelében levő sűrűséginhomogenitások mozgása miatt keletkezik (ibid. p.67).

Az értekezésben bemutatott gravitációs gradiens számítási módszerek véleményem szerint *közvetlenül* nem alkalmazhatóak a gravitációs hullámok detektálását elősegítő műszerfejlesztésekben, az ilyen mérések értelmezésében és hiba-analízisében. A számított gravitációs gradiensek ugyanis *elemi* hosszon adják meg a tömegvonzási erő változását, míg a gravitációshullám-detektorok newtoni zajához a tömegvonzási erő változását több km-es hosszon kellene kiszámítani. Arra viszont látok lehetőséget, hogy az 5.2 fejezetben az Eötvös-Pekár-Feket kísérlet analíziséhez felhasznált multipólus kifejtést erre a célra lehessen felhasználni. A gravitációs kölcsönhatás  $W$  potenciális energiája időbeli változásának a detektor interferométer karjának irányába eső deriváltja ugyanis közvetlenül megadja a tükrökre ható erő megváltozását, és ebből a tükröz mozgása kiszámítható. Ehhez elő kell állítani külső  $Q_{lm}$  multipólus tér időbeli változását és a detektor kölcsönható tömegeinek  $q_{lm}$  multipólus nyomatékait, és akkor az (5.7) kifejezéshez hasonlóan, de nem szög-, hanem iránymenti deriválttal az időben változó kölcsönhatás kiszámítható, és a fent említett célokra felhasználható.

Budapest, 2024. január 16.



Tóth Gyula  
egyetemi docens

## Felhasznált irodalom

- Abramowitz M, Stegun IA (1964) Handbook of Mathematical Functions with Formulas, Graphs, and Mathematical Tables, ninth Dover printing, tenth GPO printing. Dover, New York
- Biró P, Ádám J, Völgyesi L, Tóth Gy (2013) A felsőgeodézia elmélete és gyakorlata. HM Zrínyi Térképészeti és Kommunikációs Szolgáltató Nonprofit Kft. Kiadó, Budapest
- Bölling K, Grafarend E (2005) Ellipsoidal spectral properties of the Earth's gravitational potential and its first and second derivatives. *Journal of Geodesy* 79:300–330. <https://doi.org/10.1007/s00190-005-0465-y>
- Cruz JC de la, Campo JM del, Colorado D (2015) Comparative study on porosity and permeability of conventional concrete and concrete with variable proportions of natural zeolite additions. *Revista de la Construcción Journal of Construction* 14:70–76
- Gelderen M van, Rummel R (2001) The solution of the general geodetic boundary value problem by least squares. *Journal of Geodesy* 75:1–11. <https://doi.org/10.1007/s001900000146>

- Heinbockel JH (2010) Introduction to Finite and Infinite Series and Related Topics. Trafford Publishing
- Koch K-R, Kusche J (2002) Regularization of geopotential determination from satellite data by variance components. *Journal of Geodesy* 76:259–268
- Lohöfer G (1991) Inequalities for Legendre functions and Gegenbauer functions. *Journal of Approximation Theory* 64:226–234
- Moritz H (1980) Advanced Physical Geodesy. Herbert Wichmann Verlag; Abacus Press, Karlsruhe; Tunbridge Wells Kent
- Šprlák M (2023) Comments and corrections to: „Ellipsoidal spectral properties of the Earth’s gravitational potential and its first and second derivatives” by Bölling and Grafarend (2005) in *J. Geod.* 79(6-7):300-330. *Journal of Geodesy* 97:101. <https://doi.org/10.1007/s00190-023-01799-x>
- Tikhonov AN, Arsenin VY (1977) Solutions of ill-posed problems. V. H. Winston & Sons, Washington, D.C.: John Wiley & Sons, New York
- Tóth Gy (2003) The Eötvös spherical horizontal gradiometric boundary value problem – gravity anomalies from gravity gradients of the torsion balance. In: Gravity and Geoid 2002, 3rd Meeting of the IGGC. 102–107 o.
- Tóth Gy, Földváry L, Tziavos IN, Ádám J (2006) Upward/downward continuation of gravity gradients for precise geoid determination. *Acta Geodaetica et Geophysica Hungarica* 41:21–30. <https://doi.org/10.1556/ageod.41.2006.1.3>
- Weiss R (1972) Quarterly progress report. MIT Research Lab of Electronics 105:54
- Wiener N (1964) Extrapolation, Interpolation, and Smoothing of Stationary Time Series: With Engineering Applications. M.I.T. Press

## Rövidítések

**AG** asztrogravimetriai

**AGG** asztrogravimetriai és GNSS/szintezési

**AGGG** asztrogravimetriai, GNSS/szintezési és vízszintes gravitációs gradiens

**Bendefy-féle** harmadik országos szintezési hálózatunk, amely Bendefy László nevéhez fűződik

**BME** Budapesti Műszaki és Gazdaságtudományi Egyetem

**CHGEO** Svájc geoid modellje

**DIR** Direct GOCE global geopotential model

**DTM** Digital Terrain Model, digitális domborzatmodell

**EGGG97** Európai gravimetriai kvázigeoid megoldás (1997)

**EGM** Earth Gravitational Model

**EHT** ETRS89-EOV Hivatalos Helyi Térbeli Transzformáció

**EIGEN** European Improved Gravity model of the Earth by New techniques

**ÉKL** Észak-Kelet-le koordináta-rendszer

**EOMA** Egységes Országos Magassági Alaphálózat

**EPF** Eötvös-Pekár-Fekete (kísérlet)

**ERTM** Earth Residual Terrain Model

**ESA** European Space Agency, Európai Űrügynökség

**EUVN** European Vertical Reference Network, európai magassági vonatkoztatási hálózat

**Eöt-Wash** Eöt-Wash Group at the University of Washington

**GGM** GRACE Gravity Model

**GGOS** Global Geodetic Observing System, globális geodéziai megfigyelőrendszer

**GNSS** Global Navigation Satellite Systems, globális navigációs műholdrendszerek

**GOCE** Gravity and Steady-State Ocean Circulation Explorer

**GPM** Geopotential Model, geopotenciális modell

**GPS** Global Positioning System, globális helymeghatározó rendszer

**GRACE** Gravity Recovery And Climate Experiment

**GRS** geodéziai vonatkoztatási rendszer

**HGEO** magyar gravimetriai kvázigeoid

**HGGG** magyar GPS-gravimetriai kvázigeoid

**HGTUB** BME kvázigeoid

**IAG** International Association of Geodesy, Nemzetközi Geodéziai Szövetség

**INGA** Integrált Geodéziai Alapponthálózat

**KÉF** Kelet-Észak-fel koordináta-rendszer

**MBW** Measurement Bandwidth, mérési sáv szélesség, hasznos mérési tartomány

**MGH** Magyar Gravimetriai Hálózat



**MICROSCOPE** Micro-Satellite à traînée Compensée pour l'Observation du Principe d'Equivalence, Micro-Satellite with Compensated Drag for Observing the Principle of Equivalence

**MSB** Modified Spherical Butterworth, módosított gömbi Butterworth

**OGPSH** Országos GPS Hálózat

**PSC** parameter-signal correlation

**PSD** Power Spectral Density, teljesítménysűrűség

**QDAEDALUS** automatizált, számítógéppel vezérelt csillagászati-geodéziai mérőrendszer

**RTM** Residual Terrain Model, különbségi terepmodell

**SNR** jel/zaj viszony

**SO(2), SO(3)** speciális ortogonális mátrixok csoportja, melyek két-, ill. háromdimenziós for-  
gatásokat ábrázolnak

**UELN** United European Levelling Network, Egységes európai szintezési hálózat

**VCE** Variance Component Estimation, szórástényező becslés

**VITEL** Valós Idejű Terepi transzformációs ELjárás